

相模湾域におけるG P S 地殻変動監視観測*

(1990年5月～1992年4月)

海上保安庁水路部

海上保安庁は、1990年2月から伊豆大島、真鶴、剣崎においてG P Sによる地殻変動監視観測を定常的に行っている^{1), 2), 3)}。

使用している機器はTrimble 4000 SLD、観測は遠隔制御により自動的に行い、観測データは公衆電話回線を経由して海上保安庁水路部で収集している。観測は週1回程度行い、観測時間はそれぞれ6時間である。解析ソフトウェアはTRIMVECを用いている。

第1図～第3図に1990年5月～1992年4月までの真鶴一伊豆大島、剣崎一伊豆大島、剣崎一真鶴基線の解析結果を示した。横軸は1990年年初からの通日である。図は上から基線長成分、緯度の差、経度の差、橜円体高の差である。データがない部分は、受信機の故障による欠測である。1990年5月から8月までと1991年7月以降はSA(Selective Availability:選択的利用可能性)がかけられているため、測定精度が若干低いかも知れない。

測定のばらつきは、南北成分については約2cm(約0.4ppm)、東西成分と上下成分については約5cm(約1ppm)である。

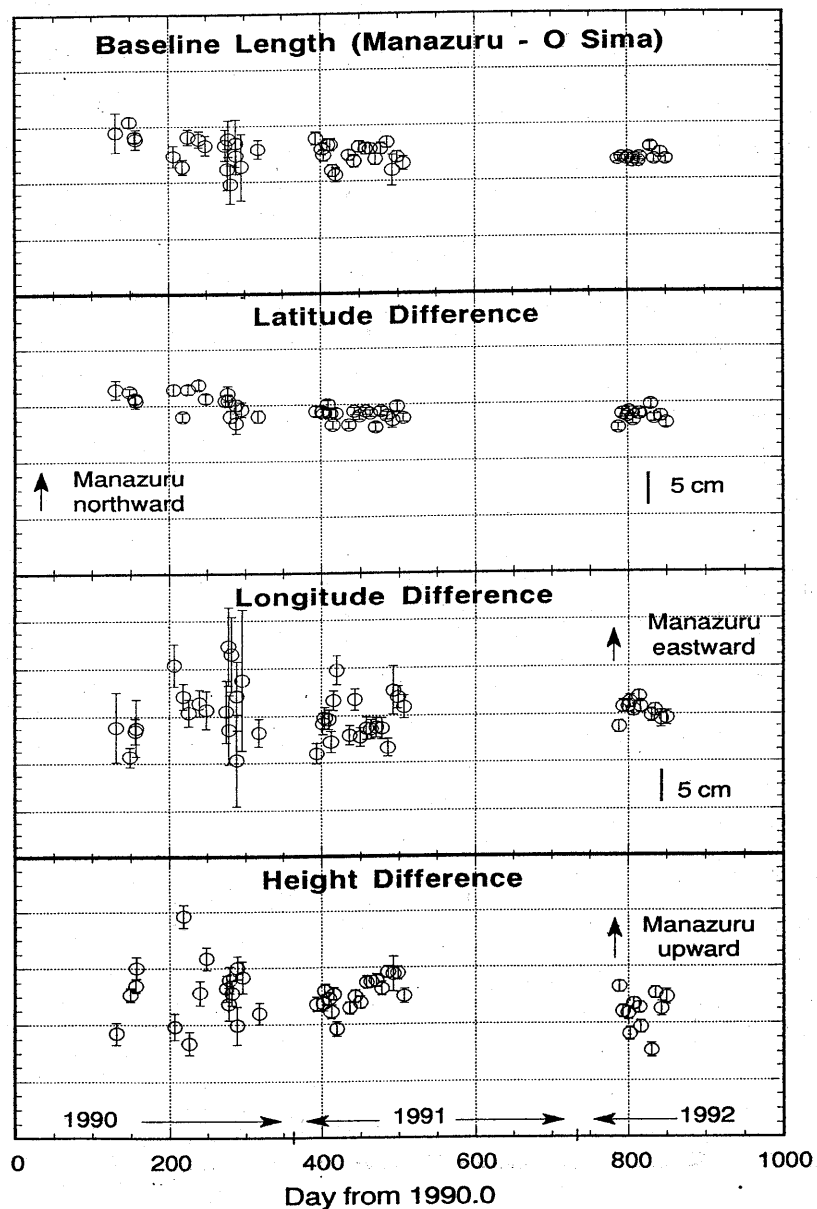
観測点は一様に動いているものと仮定して、基線ベクトルの変化速度を最小自乗法により推定した(第1表)。ただし、3基線のベクトル和を0に固定する拘束条件を設定している。変化速度の水平成分を誤差橜円とともに第4図～第6図に表示する。

真鶴一伊豆大島基線は年間約3cmの割合で縮んでおり、これはフィリピン海プレートの運動と調和している。上下成分については有意な結果は得られていない。

参考文献

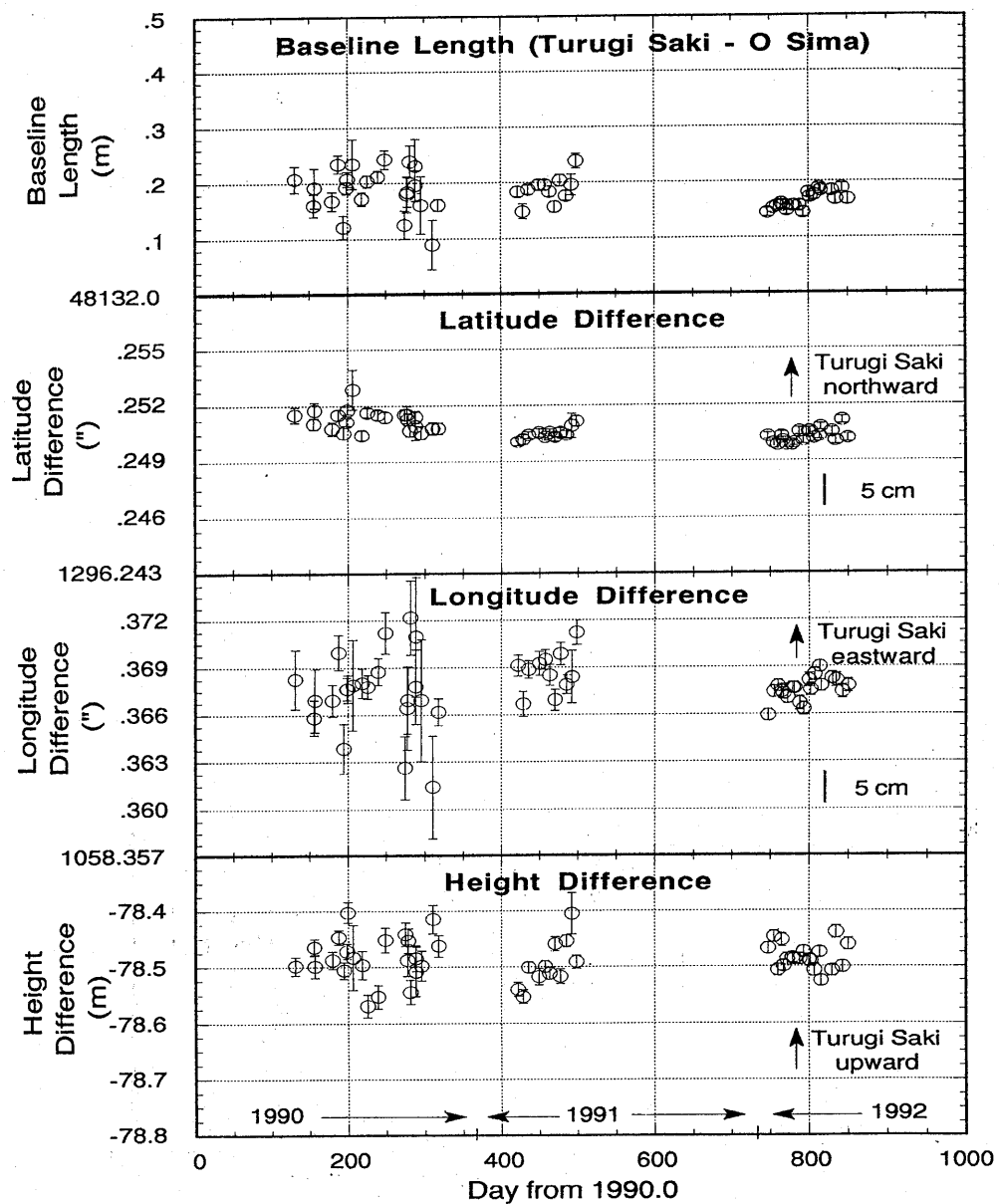
- 1) 海上保安庁水路部(1991)：相模湾域におけるG P S 地殻変動監視観測(平成2年2月～11月)，地震予知連絡会報，45，122～126。
- 2) 海上保安庁水路部(1991)：相模湾域におけるG P S 地殻変動監視観測(平成2年2月～3年4月)，地震予知連絡会報，46，108～113。
- 3) 海上保安庁水路部(1991)：相模湾域におけるG P S 地殻変動監視観測(平成2年2月～3年11月)，地震予知連絡会報，47，144～149。

* Received 6 July, 1992



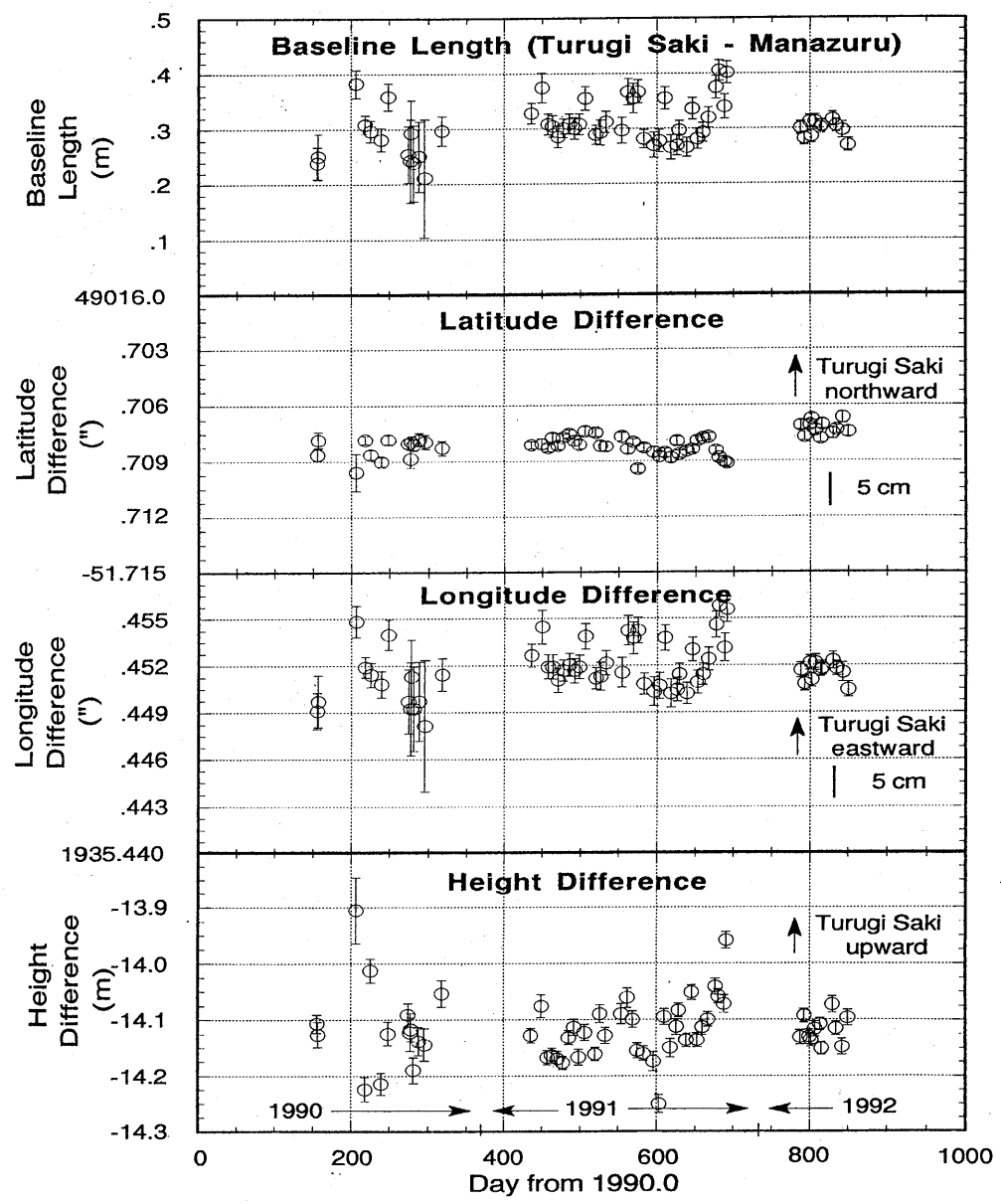
第1図 真鶴-伊豆大島基線の変化

Fig. 1 Variation of estimated relative position of Manazuru
to Izu Osima



第2図 剣崎-伊豆大島基線の変化

Fig. 2 Variation of estimated relative position of Turugisaki to Izu Osima



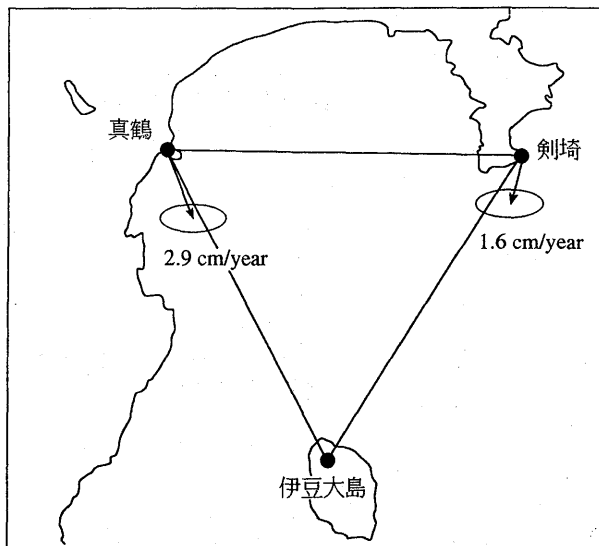
第3図 剣崎一真鶴基線の変化

Fig. 3 Variation of estimated relative position of Turugisaki to Manazuru

第1表 伊豆大島, 真鶴, 剣崎間の基線ベクトルの変化率

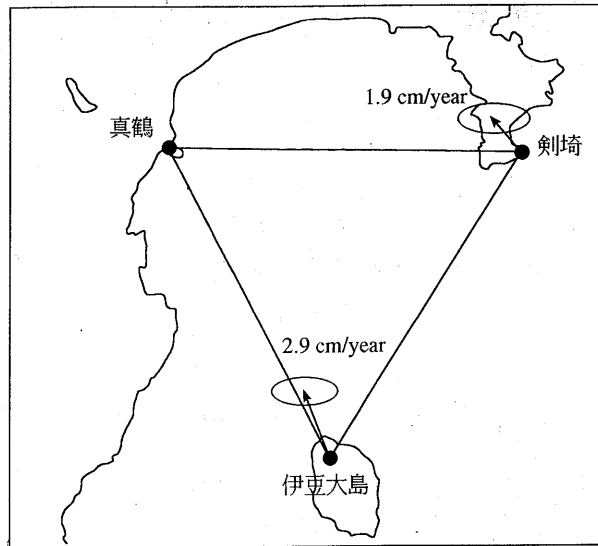
Table.1 Change rates of baseline vectors among Izu Osima,
Manazuru and Turugisaki

		基線ベクトル変化率 (cm/year)		
終点	始点	東西成分	南北成分	上下成分
真鶴	伊豆大島	1.0 ± 1.2	- 2.8 ± 0.5	- 1.5 ± 1.0
剣崎	伊豆大島	- 0.5 ± 1.2	- 1.5 ± 0.5	- 0.3 ± 0.9
剣崎	真鶴	- 1.5 ± 1.3	1.3 ± 0.5	1.1 ± 1.0



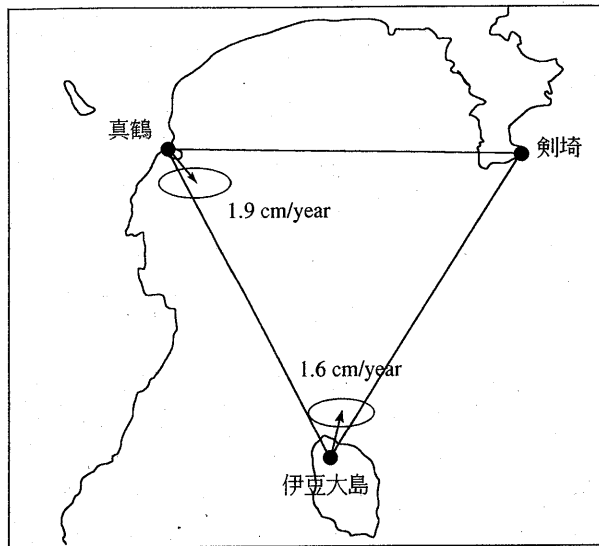
第4図 観測点の動き(伊豆大島を固定した場合)

Fig.4 Estimated site velocities of Manazuru and Turugisaki
(Izu Osima fixed)



第 5 図 観測点の動き（真鶴を固定した場合）

Fig. 5 Estimated site velocities of Turugisaki and Izu Osima
(Manazuru fixed)



第 6 図 観測点の動き（剣崎を固定した場合）

Fig. 6 Estimated site velocities of Izu Osima and Manazuru
(Turugisaki fixed)